

# 궤도 하부구조물의 전단파속도 획득을 위한 콘 관입기의 개발

## Development of Cone Penetrometer for Shear Wave Velocity Assessment of Track Substructures

홍원택\*, 강성훈\*, 이성진\*\*, 이종섭\*†

Won-Taek Hong\*, Seonghun Kang\*, Sung Jin Lee\*\*, Jong-Sub Lee\*†

**Abstract** Changes in strength and stiffness of the track substructures can lead to serious accidents including the shear failure of the subgrade and the derailment of the train. In this study, a cone penetrometer is developed to obtain the dynamic cone penetration index and shear wave velocity of the track substructures and is applied to the high-speed railway track substructures. In the cone tip with a diameter of 24 mm, an accelerometer with a range of 10,000 g is installed. Experimental results show that the dynamic cone penetration index and the shear wave velocity are about 5 mm/blow and 110 m/s in the ballast layer, 2~5 mm/blow and 150 m/s in the reinforced subgrade and subgrade layer, respectively. The cone penetrometer developed in this study may be a useful tool for strength and stiffness evaluation of the track substructures.

**Keywords :** Cone penetrometer, DCPI, High-speed railway, shear wave velocity, Track substructure

**초 록** 궤도 하부구조물의 강도 및 강성특성 변화는 노반의 전단파괴, 열차의 탈선 등 큰 사고로 이어질 수 있다. 본 연구에서는 궤도 하부구조물의 강도 및 강성특성 획득을 위한 콘 관입기를 개발하였으며 고속철도 궤도 하부구조물에 적용하여 동적 콘 관입지수 및 전단파속도를 획득하였다. 콘 관입기의 선단부는 직경 24mm의 원추형으로 제작되었으며 내부에는 측정범위 10,000g의 가속도계가 설치되었다. 적용실험 결과, 동적 콘 관입지수와 전단파속도는 도상자갈층에서 약 5mm/blow와 110m/s로 측정되었으며, 강화노반 및 상부노반층에서는 약 2~5mm/blow와 150m/s로 측정되었다. 본 연구에서 개발된 콘 관입기는 궤도 하부구조물의 강도 및 강성특성 평가를 위한 방법으로 활용될 수 있을 것이라 기대된다.

**주요어 :** 콘 관입기, 동적 콘 관입지수, 고속철도, 전단파속도, 궤도 하부구조물

### 1. 서 론

철도궤도 하부구조물의 노후화로 인한 지지력 감소 및 기존선에 대한 열차의 고속화로 인한 증가된 윤중, 횡압, 시·제동력은 궤도 하부구조물의 파괴를 유발하여 큰 인명피해를 발생시킬 수 있으며, 파괴까지 유발되는 큰 변형이 발생되지 않더라도 안전관리기준을 벗어난 궤도 하부구조물의 변형은 열차의 탈선 등 큰 사고로 이어질 수 있다. 그러므로, 철도궤도 하부구조물에 대한 강도 및 강성특성 평가에 대한 연구는 가장 기본적임과 동시에 가장 중

† 교신저자: 고려대학교 공과대학 건축사회환경공학부 (jongsub@korea.ac.kr)

\* 고려대학교 공과대학 건축사회환경공학부

\*\* 한국철도기술연구원 고속철도연구본부

요한 가치를 지닌다고 할 수 있다.

최근 많은 연구자들에 의하여 다양한 방법을 적용한 철도궤도 하부구조물 평가 방법이 소개되고 있다. Park 등 [1] 과 Kim 등 [2] 은 ground penetrating radar (GPR) 을 궤도 하부구조물에 적용하였다. GPR은 적은 비용으로 단시간 내에 깊은 지역에 대한 탐사가 가능한 반면 [3], 직접적인 궤도 하부구조물의 강도 및 강성 평가에 어려움이 있다. 또한, surface wave 기법 및 품질관리에 대한 연구도 진행되고 있으나 아직 실용화 단계에 이르지 못하였다 [4]. 또한, light falling weight deflectometer (LWDT), plate bearing test (PBT) 를 이용한 궤도 하부구조물 평가가 제안되었다. LFWD와 PBT는 직접적으로 강성과 처짐량을 평가할 수 있는 방법이나, 평가범위가 제한적이기 때문에 노반을 평가하고자 할 경우 침목과 도상자갈층을 제거해야 하므로 적용성이 한계가 있다. 이와 같은 이유로, 비파괴 시험방법들에 참고값을 제시할 수 있으며, 심도에 따라 직접적으로 철도궤도 하부구조물을 평가할 수 있는 원위치 관입시험에 대한 연구가 필요하다.

Scala [5] 에 의해 소개된 dynamic cone penetrometer (DCP) 는 선단부 직경이 20 mm 인 소형화된 원위치 관입시험 방법으로서 시험방법이 매우 간결하고 경제적이며 장비의 유지관리 및 보관이 용이하고, 대상지반을 크게 교란하지 않으므로 운영중인 철도궤도 하부구조물에 대한 적용에 적합하다. DCP 시험을 통하여 획득되는 동적 콘 관입지수 (dynamic cone penetration index, DCPI) 는 대상 지반의 강도특성과 크게 연관되므로 대상 궤도 하부구조물의 강도특성 평가에 유용하게 사용될 수 있으나, 궤도 하부구조물의 강성특성 평가에는 한계가 있다.

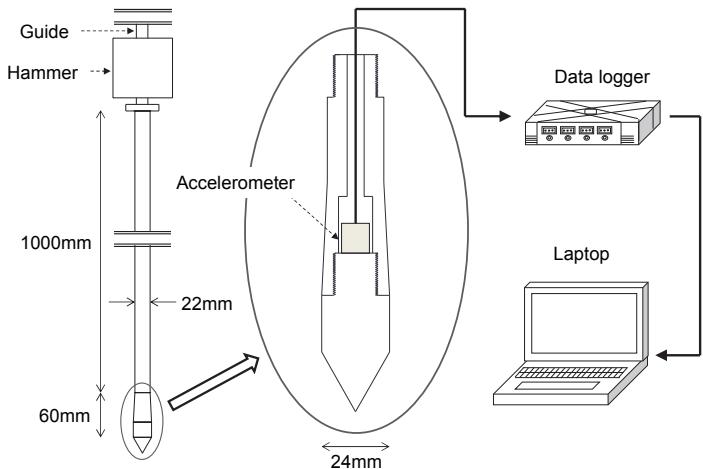
본 연구에서는 동적 콘 관입 시험을 통하여 강도특성 평가와 동시에 목표 심도에서 직접적으로 강성특성과 관련된 전단파속도를 측정할 수 있는 콘 관입기를 개발하였으며, 현재 운영중인 철도궤도 하부구조물을 대상으로 현장실험을 수행하여 적용성을 검증하였다. 본 논문은 개발된 콘 관입기 및 현장실험의 결과를 다룬다.

## 2. 본 론

### 2.1 전단파속도 획득을 위한 콘 관입기

#### 2.1.1 형상 및 측정체계

본 연구에서 개발된 콘 관입기를 이용한 궤도 하부구조물 평가는 두 개의 콘 관입기가 동시에 관입되며 수행된다. 첫 번째 콘 관입기는 특정 심도에서 해머 타격에 의하여 전단파를 발생시키는 발신기 역할을 하며, 두 번째 콘 관입기는 해당 심도에서 첫 번째 콘 관입기에 의하여 발생된 전단파를 감지하는 수신기 역할을 한다. 콘 관입기는 Fig. 1 과 같이 길이 60 mm, 직경 24 mm 의 선단부와 길이 1,000 mm, 직경 22 mm 의 관입롯드, 무게 118 N 의 해머 및 가이드로 구성되며, 관입롯드가 모두 관입된 후 추가 관입수행이 가능도록 길이가 각각 500 mm, 300 mm 인 연장롯드가 제작되었다. 또한, 선단부에는 해머 타격 및 수직방향 지반 진동을 감지할 수 있도록 측정범위가 10,000 g 인 일축 가속도계가 설치되었다. 가속도계를 통하여 측정된 가속도 신호들은 데이터로거로 수집되며, 컴퓨터로 출력된다.



**Fig. 1** Schematic drawing and measurement system of the cone penetrometer

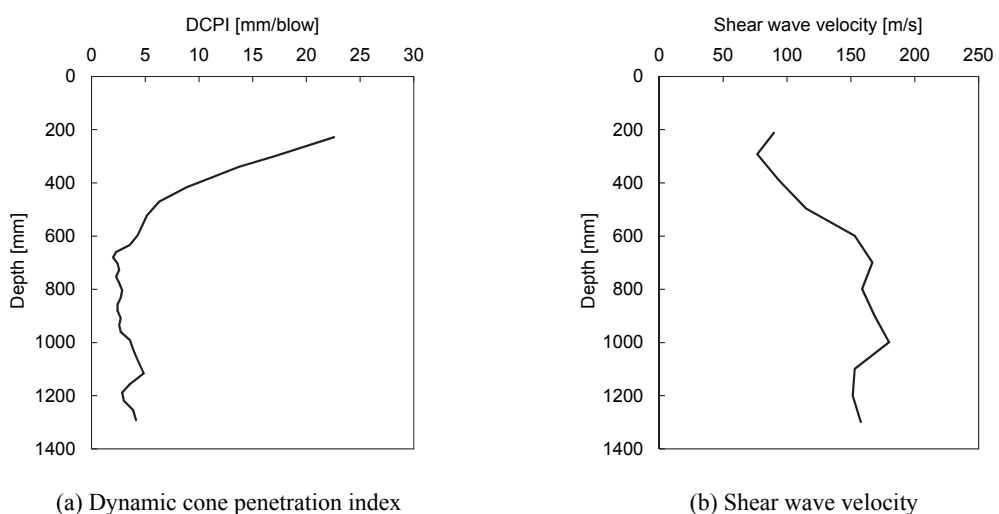
## 2.2 현장 적용실험

### 2.2.1 개요

본 연구에서 개발된 콘 관입기에 대한 현장 적용을 위하여 경부고속철도 구간에 속한 자갈도상 궤도 하부구조물을 대상으로 관입실험이 수행되었다. 전단파속도 획득을 위하여 수신기 역할을 하는 콘 관입기를 측정 목표심도까지 선행하여 관입한 후, 발신기 역할을 하는 콘 관입기의 관입이 수행되었으며, 각 콘 관입기의 심도가 유사할 때 가속도신호를 획득하여 전단파속도를 산정하였다. 또한, 발신기 역할을 하는 콘 관입기의 관입시 대상 지반의 강도특성과 관련된 동적관입저항을 획득하기 위하여 매 타격마다 관입심도를 기록한 후, DCPI 주상도를 획득하였다. 본 적용실험에서는 1,310 mm 의 심도까지 관입이 수행되었으며, 전단파속도는 심도 200 mm 부터 1,300 mm 까지 100 mm 의 간격으로 획득되었다.

### 2.2.2 실험 결과

Fig. 2 는 현장 적용실험으로부터 획득된 DCPI 주상도 및 전단파속도 주상도를 보여준다.



(a) Dynamic cone penetration index

(b) Shear wave velocity

**Fig. 2** Experimental results of the application test

DCPI는 관입 초반 낮은 구속압의 효과로 인하여 매우 큰 값을 나타내었으나, 심도 약 500 mm 부터 약 5 mm/blow 의 값을 나타내었으며, 600~1,000 mm 구간에서는 약 2.5 mm/blow 로 수렴하였다. 이후 1,000 mm 이상의 심도에서는 DCPI 가 다소 증가하는 경향을 보였다. 전단파속도의 경우, 심도 200 mm 에서는 이후 심도에서의 경향과는 상이하게 약 90 m/s 로 비교적 큰 값을 나타내었다. 이는 높이 200 mm 로 제작된 콘크리트재질로 이루어진 침목의 영향으로 판단된다. 이후 심도 300 mm 에서는 약 70 m/s 로 감소하였으며, 측정심도 500 mm 까지 115 m/s 로 증가하였다. 심도 600 mm 부터 1,000 mm 까지의 전단파속도는 약 160 m/s 로 측정되었으며, 이후 심도에서는 약 150m/s 의 값을 나타내었다.

### 3. 결 론

본 연구에서는 철도궤도 하부구조물에 대하여 직접적으로 강도 및 강성특성을 획득할 수 있는 콘 관입기를 개발하였다. 콘 관입기는 118 N 의 해머를 이용하여 575 mm 의 낙하고로 동적관입되며, 강도특성과 관련된 DCPI 및 강성특성과 관련된 전단파속도를 획득할 수 있다. 현장 적용성 검증을 위하여 고속철도 궤도 하부구조물에 대하여 관입실험을 수행하였으며, 심도 약 1,310 mm 까지의 DCPI 주상도 및 전단파속도 주상도를 획득하였다.

본 연구에서 개발된 콘 관입기는 동적관입 방법을 이용함으로써 장비의 경량화 및 이동성 상승을 도모하였으며, 관입과 동시에 강도 및 강성특성을 획득할 수 있으므로 향후의 철도 궤도 하부구조물 평가 방법으로써 유용하게 활용될 수 있을 것이라 기대된다.

### 후 기

이 연구는 국토교통부 미래철도기술개발사업의 연구비 지원(과제번호 14-RTRP-B065581-02)에 의해 수행되었습니다.

### 참고문헌

- [1] J. O. Park, H. K. Min, I. S. Jeon (2009) Evaluation of subgrade state in the Gyeongbu high speed railway through GPR tests and drilling boreholes, *2009 Spring Conference of Korean Society for Railway, Korea*, pp. 984-996.
- [2] D. S. Kim, S. K. Hwang, M. H. Shin, T. S. Park (2005) Evaluation on the condition of track substructure using GPR/PBS/LFWD, *Journal of the Korean Geotechnical Society*, 21(5), pp. 163-170.
- [3] D. Carpenter, P. J. Jackson, A. Jay (2004) Enhancement of the GPR method of railway trackbed investigation by the installation of radar detectable geosynthetics, *NDT & E International*, 37, pp. 95-103.
- [4] H. S. Ko, S. H. Joh, S. K. Hwang, I. H. Lee (2004) The evaluation of roadbed stiffness using continuous surface-wave (CSW) method, *2004 Autumn Conference of Korean Society for Railway, Korea*, pp. 1-6.
- [5] A. J. Scala (1956) Simple methods of flexible pavement design using cone penetrometer, *New Zealand Engineering*, 11(2), 34.